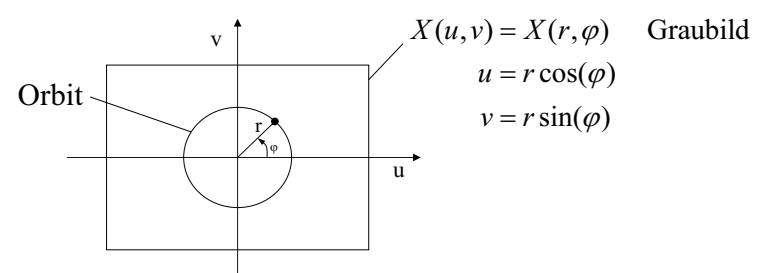
## Kapitel 5

#### Allgemeine Ansätze zur Berechnung von Invarianten

H Burkhardt Institut für Informatik Universität Freiburg

ME I Von 50

## Beispiel für den differentiellen Ansatz



Gesucht sind Invarianten für die Drehgruppe  $\mathcal{G}(\varphi)$ :

$$g(\varphi)X(u,v) = X(u\cos\varphi - v\sin\varphi, u\sin\varphi + v\cos\varphi)$$

Gesucht ist eine Funktion f mit der Eigenschaft:

$$\frac{df(g(\varphi)X(u,v))}{d\varphi} = 0$$

$$\Rightarrow \frac{\partial f}{\partial u} \frac{\partial u}{\partial \varphi} + \frac{\partial f}{\partial v} \frac{\partial v}{\partial \varphi} = 0 \quad \text{Kettenregel}$$

$$\Rightarrow \frac{\partial f}{\partial u} (-u\sin\varphi - v\cos\varphi) + \frac{\partial f}{\partial v} (u\cos\varphi - v\sin\varphi) = 0$$

$$\varphi = 0: \quad \boxed{-v\frac{\partial f}{\partial u} + u\frac{\partial f}{\partial v}} = 0$$

#### Die drei kanonischen Möglichkeiten zur Berechnung von Invarianten (notwendige Bedingungen)

#### 1) Integration über die Transformationsgruppe

(Haar-Integral, Hurwitz 1897)

$$I = \int_{C} f(g(\mathbf{p})\mathbf{x}) dg$$

z.Bsp. *f*: Polynome

2) Differenzieller Ansatz

$$\frac{\partial I(g(\mathbf{p})\mathbf{x})}{\partial p_i}\Big|_{p=0} \equiv 0 \equiv 0 \text{ für beliebige } \mathbf{p}$$

löse die entspr. partiellen Dgl. => Lie-Theorie

# $\frac{\partial I(g(\mathbf{p})\mathbf{x})}{\partial p_i} = 0 = 0 \text{ für beliebige } \mathbf{p}$

#### 3) Normalisierung

reduziere die Darstellung auf extremale Punkte der Orbits, z.Bsp. Auf den Punkt maximaler Krümmung (Schwerpunktnormierung, FDen)

H Burkhardt Institut für Informatik Universität Freiburg

ME I Von 50

= const

 $g(\mathbf{p})\mathbf{x}_1$ 

 $I_1 = const$ 

Diese partielle Dgl. wird gelöst durch:

$$f(u,v) = u^2 + v^2 = r^2$$

D.h. alle Funktionen, die nur vom Radius r, aber nicht vom Winkel  $\varphi$  abhängen sind zulässige invariante Merkmale für die Drehgruppe, also z. B. das Integral über ein Kreissegment, oder auch alle höheren Momente:

$$M_n = \int_{r=0}^{R} \int_{\varphi=0}^{2\pi} r^n X(r,\varphi) d\varphi dr$$

Diese Momente sind invariant, jedoch nicht vollständig!

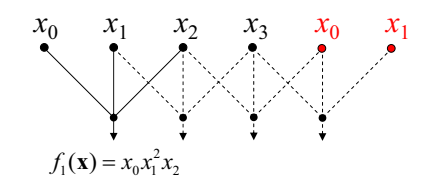
Schwierigkeit der differentiellen Methodik:

Die Notwendigkeit partielle Differentialgleichungen zu lösen (falls die Gruppe mehr als einen Parameter hat)

# Integration über die endliche Gruppe der Translationen

Bei endlichen Gruppen geht die Integration über in eine Summation über die Gruppe (sog. Gruppenmittel). Es werden bevorzugt polynomiale Funktionen mit lokalem Definitionsbereich (functions of finite support) bevorzugt, also z.Bsp. Für N=4:

$$\mathbf{x} = \begin{bmatrix} x_0 \\ x_1 \\ x_2 \\ x_3 \end{bmatrix}$$



Ein Monom, ist ein Polynom von der Form

$$P(\mathbf{x}) = x_0^{d_0} x_1^{d_1} \cdots x_{n-1}^{d_{n-1}}$$

Die Summe  $d = \sum_{i=1}^{n-1} d_i$  wird als Grad des Monoms bezeichnet.

H Rurkhardt Institut für Informatik Universität Freihuro

Durch Summation über die Gruppe ergibt sich ein invariantes Merkmal zu:

$$\tilde{x}_1(f_1(\mathbf{x})) = x_0 x_1^2 x_2 + x_1 x_2^2 x_3 + x_2 x_3^2 x_0 + x_3 x_0^2 x_1$$

Der Nachweis der Invarianz ist einfach nachzuprüfen durch zyklische Permutation der Indizes:  $f(\tau_1(\mathbf{x})) = f(\mathbf{x})$ 

Eine noch einfachere Invariante ergibt sich durch Summation über das Monom ersten Grades  $f_0 = x_0$  zu:

$$\tilde{x}_0(f_0(\mathbf{x})) = x_0 + x_1 + x_2 + x_3$$
 (einfacher Mittelwert)

H Burkhardt Institut für Informatik Universität Freiburg

ME I Von 50

## Vollständigkeit für endliche Gruppen

(Emmy Noether, 1916)

Für endliche Gruppen  $\mathcal{G}$  mit  $|\mathcal{G}|$  Elementen und Muster der Dimension N erhält man vollständige Merkmale, oder eine Basis, wenn man über alle Monome vom Grad  $\leq |\mathcal{G}|$ summiert. Die Anzahl der Monome ist gegeben durch:



1882-1935

Dies ist eine obere Schranke, welche Vollständigkeit garantiert; praktisch kann Vollständigkeit bereits für wesentlich weniger Elemente existieren.

Bei der Translationsgruppe erhält man mit dim $(x) = |\mathcal{G}| = N$ :

$$\binom{2N}{N} = \frac{(2N)!}{(N!)\cdot(N!)}$$

Für N = 4 sind das  $\frac{8!}{(4!)\cdot(4!)} = 70$  und für N = 8 bereits  $\frac{16!}{(8!)^2} = 12.870$ 

## Orbits für Binärmuster der Dimension *N*=4 bzgl. zyklischer Translationen

Orbits	Muster			
$O_0$	$(0,0,0,0)^T$			
$O_1$	$(0,0,0,1)^T$	$(0,0,1,0)^T$	$(0,1,0,0)^T$	$(1,0,0,0)^T$
$O_2$	$(0,0,1,1)^T$	$(0,1,1,0)^T$	$(1,1,0,0)^T$	$(1,0,0,1)^T$
$O_3$	$(0,1,0,1)^T$	$(1,0,1,0)^T$		
$O_4$	$(0,1,1,1)^T$	$(1,1,1,0)^T$	$(1,1,0,1)^T$	$(1,0,1,1)^T$
$O_5$	$(1,1,1,1)^T$			

# Translationsinvarianz bei Binärmustern der Länge *N*=4

Berechne aus Gründen der Vollständigkeit alle Gruppenmittel vom Grad ≤ 4. Da wir über die zyklischen Translationen mitteln, können die Monome, welche aus einer zyklischen Translation der Eingangsdaten auseinander hervorgehen, unberücksichtigt bleiben. Beachtet man ausserdem

$$x_i^{d_j} = x_i$$
 für  $\forall d_i > 0, x_i \in \{0, 1\}$ 

So sind die folgenden Monome zu betrachten:

$$f_0(\mathbf{x}) = x_0 \qquad \text{offensichtlich ist } f_5(\mathbf{x}) = 1 \text{ von wenig}$$

$$f_1(\mathbf{x}) = x_0 x_1 \qquad \text{praktischem Nutzen}$$

$$f_2(\mathbf{x}) = x_0 x_2 \qquad x_0 x_1 x_2 \qquad x_0 x_1 x_2 \text{ z.Bsp. erhält man durch}$$

$$f_3(\mathbf{x}) = x_0 x_1 x_2 \qquad \text{zykl. Transl. aus } x_0 x_2 x_3 = x_{\langle 0+2 \rangle} x_{\langle 1+2 \rangle} x_{\langle 2+2 \rangle}$$

$$f_4(\mathbf{x}) = x_0 x_1 x_2 x_3$$

U Durkhardt Institut für Informatik Universität Ereiburg

ME I Kan 5a

## Gruppenmittel

Aus diesen Monomen berechnen sich die folgenden Gruppemnittel:

$$\tilde{x}_0 = T(f_0(\mathbf{x})) = (x_0 + x_1 + x_2 + x_3) 
\tilde{x}_1 = T(f_1(\mathbf{x})) = (x_0 x_1 + x_1 x_2 + x_2 x_3 + x_3 x_0) 
\tilde{x}_2 = T(f_2(\mathbf{x})) = (x_0 x_2 + x_1 x_3 + x_2 x_0 + x_3 x_1) = 2(x_0 x_2 + x_1 x_3) 
\tilde{x}_3 = T(f_3(\mathbf{x})) = (x_0 x_1 x_2 + x_1 x_2 x_3 + x_2 x_3 x_0 + x_3 x_0 x_1) 
\tilde{x}_4 = T(f_4(\mathbf{x})) = 4x_0 x_1 x_2 x_3$$

Daraus resultieren die folgenden Invarianten für die verschiedenen

Orbits:	Orbits			$\tilde{x}_2$	$\tilde{x}_3$	$\tilde{\chi}_4$
	$O_0$	0	0	0	0	0
	$O_{\!\scriptscriptstyle 1}$	1	0	0	0	0
	$O_2$	2	1	0	0	0
	$O_3$	2	0	2	0	0
	$O_4$	3	2	2	1	0
	$O_5$	4	4	0 0 0 2 2 4	4	4

Man erkennt, dass bereits die beiden Merkmale  $\tilde{x}_0$  und  $\tilde{x}_1$  einen vollständigen Merkmalsraum aufspannen!

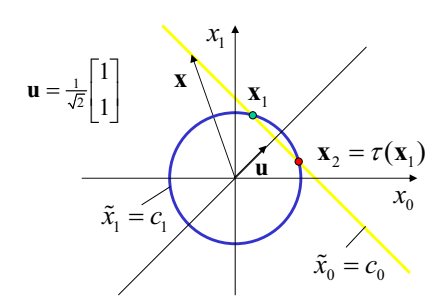
H Rurkhardt Institut für Informatik Universität Freihurg

ME I Van 50 10

#### Geometrische Veranschaulichung der Gruppenmittel: Schnitt von Mannigfaltigkeiten

Gruppenmittel für die *Translation* bei *N*=2:

Orbit: 
$$O\left[\begin{bmatrix} x_0 \\ x_1 \end{bmatrix}\right] = \left\{\begin{bmatrix} x_0 \\ x_1 \end{bmatrix}, \begin{bmatrix} x_1 \\ x_0 \end{bmatrix}\right\}$$



Spiegelung an 1. Winkelhalbierenden

1. geometrischer Ort mit linearen Gruppenmitteln  $f_0 = x_0$ :

 $\tilde{x}_0 = x_0 + x_1 = \sqrt{2} \langle \mathbf{x}, \mathbf{u} \rangle = c_0 \text{ (Gerade } \perp \text{ auf } \mathbf{u} \text{)}$ noch mehrdeutig!

2. geometrischer Ort mit quadratischen Gruppenmitteln  $f_1 = x_0^2$ :

 $\tilde{x}_1 = x_0^2 + x_1^2 = c_1$  (Kreis)

Schnittpunkt beider geometrischer Örter ergibt genau die Vektoren der Äquivalenzklasse:

$$\Rightarrow \tilde{\mathbf{x}} = \begin{bmatrix} \tilde{x}_0 \\ \tilde{x}_1 \end{bmatrix}$$
 ist vollständig!

# Eine weitere *lineare* Invariante löst nicht das Problem!

Wählt man z.B. eine andere Multilinearform der Art  $f_1 = 2x_0 + x_1$  so erhält man nach der Gruppenmittelung:  $\tilde{x}_1 = (2x_0 + x_1) + (2x_1 + x_0) = 3(x_0 + x_1)$ 

Diese Invariante ist aber nicht von neuer Qualität im Vergleich zu:

$$\tilde{x}_0 = x_0 + x_1 = \square \ \tilde{x}_1$$

#### Wahl einer alternativen Mannigfaltigkeit 2. Grades

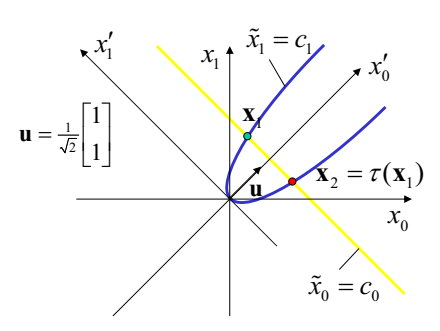
1. geometrischer Ort mit linearen Gruppenmitteln  $f_0 = x_0$ :

$$\tilde{x}_0 = x_0 + x_1 = \sqrt{2} \langle \mathbf{x}, \mathbf{u} \rangle = c_0$$
 (Gerade  $\perp$  auf  $\mathbf{u}$ ) noch mehrdeutig!

2. geometrischer Ort mit Parabel symmetrisch zur  $x'_0$ -Achse:  $x'_0 = kx'_1{}^2$ 

und mit 
$$\frac{x_0' = \frac{1}{\sqrt{2}}(x_0 + x_1)}{x_1' = \frac{1}{\sqrt{2}}(x_1 - x_0)}$$
 folgt daraus:  $x_0^2 + x_1^2 - 2x_0x_1 - \frac{1}{\sqrt{2}}(x_0 + x_1) = 0$ 

Dies kann als quadratisches Gruppenmittel über  $f_1 = \frac{1}{2}(x_0^2 + x_1^2) - x_0x_1 - \frac{1}{2k}x_0$ erzeugt werden.



$$\frac{\frac{1}{2}(x_0^2 + x_1^2) - x_0 x_1 - \frac{1}{2k} x_0}{\frac{1}{2}(x_0^2 + x_1^2) - x_0 x_1 - \frac{1}{2k} x_1}{\tilde{x}_1 = x_0^2 + x_1^2 - 2x_0 x_1 - \frac{1}{2k} (x_0 + x_1)}$$

Schnittpunkt beider geometrischer Örter ergibt genau die Vektoren der Äquivalenzklasse:

$$\Rightarrow \quad \tilde{\mathbf{x}} = \begin{bmatrix} \tilde{x}_0 \\ \tilde{x}_1 \end{bmatrix} \text{ ist vollständig!}$$

H Rurkhardt Institut für Informatik Universität Freihuro

#### Gruppenmittel für die Äquivalenzklasse zyklischer Translationen mit *N*=3

Orbit: 
$$O\left(\begin{bmatrix} x_0 \\ x_1 \\ x_2 \end{bmatrix}\right) = \left\{\begin{bmatrix} x_0 \\ x_1 \\ x_2 \end{bmatrix}, \begin{bmatrix} x_1 \\ x_2 \\ x_0 \end{bmatrix}, \begin{bmatrix} x_2 \\ x_0 \\ x_1 \end{bmatrix}\right\}$$
 Rotation an der 1. Raumdiagonalen um  $2\pi/3$ 

1. geometrischer Ort mit linearen Gruppenmitteln  $f_0 = x_0$ :

$$\tilde{x}_0 = x_0 + x_1 + x_2 = \sqrt{3} \langle \mathbf{x}, \mathbf{u} \rangle = c_0 \text{ (Ebene } \perp \text{ auf } \mathbf{u} = \frac{1}{\sqrt{3}} [1 \ 1 \ 1]^T \text{)}$$

2. geometrischer Ort mit quadratischen Gruppenmitteln  $f_1 = x_0^2$ :

$$\tilde{x}_1 = x_0^2 + x_1^2 + x_2^2 = c_1$$
 (Kugel)  $\tilde{x}_0 \cap \tilde{x}_1$  ergibt Kreis

3. geometrischer Ort:

a) 
$$f_2 = x_0 x_1 \implies$$
 Gruppenmittel:  $\tilde{x}_2 = x_0 x_1 + x_1 x_2 + x_2 x_0 = c_2$ 

 $\tilde{x}_0 \cap \tilde{x}_1 \cap \tilde{x}_2$  ergibt 6 Punkte (auch invariant gegenüber Spiegelung!)

b) erst die Wahl einer asymmetrischen Funktion führt zur Vollständigkeit:

$$f_2 = x_0^2 x_1 \Rightarrow \text{Gruppenmittel: } \tilde{x}_2 = x_0^2 x_1 + x_1^2 x_2 + x_2^2 x_0 = c_2$$

 $\tilde{x}_0 \cap \tilde{x}_1 \cap \tilde{x}_2$  ergibt genau die 3 Punkte der Äquivalenzklasse!

H Rurkhardt Institut für Informatik Universität Freihuro

ME I Kon 50 14

## Gruppenmittel für die Äquivalenzklasse zyklischer Translationen mit *N*=3

Orbit: 
$$O\left(\begin{bmatrix} x_0 \\ x_1 \\ x_2 \end{bmatrix}\right) = \left\{\begin{bmatrix} x_0 \\ x_1 \\ x_2 \end{bmatrix}, \begin{bmatrix} x_1 \\ x_2 \\ x_0 \end{bmatrix}, \begin{bmatrix} x_2 \\ x_0 \\ x_1 \end{bmatrix}\right\}$$
 Rotation an der 1. Raumdiagonalen um  $2\pi/3$ 

1. geometrischer Ort mit linearen Gruppenmitteln  $f_0 = x_0$ :

$$\tilde{x}_0 = x_0 + x_1 + x_2 = \sqrt{3} \langle \mathbf{x}, \mathbf{u} \rangle = c_0$$
 (Ebene  $\perp$  auf  $\mathbf{u} = \frac{1}{\sqrt{5}} \begin{bmatrix} 1 & 1 & 1 \end{bmatrix}^T$ )

2. geometrischer Ort mit quadratischen Gruppenmitteln  $f_1 = x_0^2$ :

$$\tilde{x}_1 = x_0^2 + x_1^2 + x_2^2 = c_1$$
 (Kugel)  $\tilde{x}_0 \cap \tilde{x}_1$  ergibt Kreis

3. geometrischer Ort:

a) 
$$f_2 = x_0^3 \implies$$
 Gruppenmittel:  $\tilde{x}_2 = x_0^3 + x_1^3 + x_2^3 = c_2$ 

 $\tilde{x}_0 \cap \tilde{x}_1 \cap \tilde{x}_2$  ergibt 6 Punkte (auch invariant gegenüber Spiegelung!)

b) erst die Wahl einer asymmetrischen Funktion führt zur Vollständigkeit:

$$f_2 = x_0^2 x_1 \Rightarrow \text{Gruppenmittel: } \tilde{x}_2 = x_0^2 x_1 + x_1^2 x_2 + x_2^2 x_0 = c_2$$

 $\tilde{x}_0 \cap \tilde{x}_1 \cap \tilde{x}_2$  ergibt genau die 3 Punkte der Äquivalenzklasse!

Start der Matlab-Demo

## Schnitt von Mannigfaltigkeiten

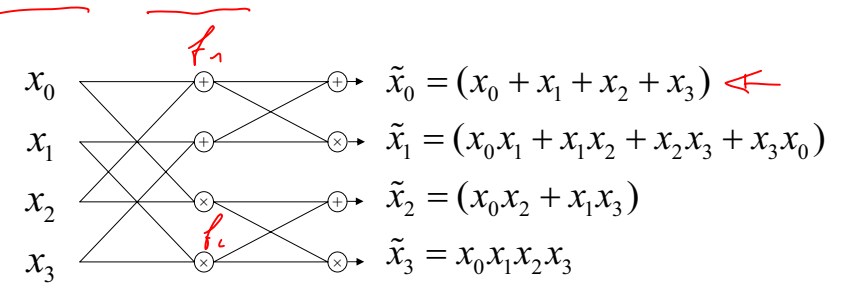
$$\begin{split} \tilde{x}_0(x_0,x_1,x_2) &= c_0 & \Rightarrow \text{ 1. Hyperfläche} & g_0(x_0,x_1,x_2,c_0) = 0 \\ \tilde{x}_1(x_0,x_1,x_2) &= c_1 & \Rightarrow \text{ 2. Hyperfläche} & g_1(x_0,x_1,x_2,c_1) = 0 \\ &\vdots & \vdots & \vdots \\ & g_0 \cap g_1 \cap g_2 \cdots \end{split}$$

- Die notwendige Bedingung garantiert, dass alle Mannigfaltigkeiten durch die Punkte der Äquivalenzklasse gehen.
- Nimmt man mehr und mehr unabhängige Invarianten hinzu, so wird in der Regel die Schnittmenge verkleinert und damit steigt der Grad der Vollständigkeit (die Hyperflächen schneiden sich in immer weniger Punkten bzw. in Mannigfaltigkeiten geringerer Dimension).

## Beziehungen zur Klasse CT (4)



Berechnet man Invarianten von der Klasse CT mit den Funktionen  $f_1=a+b$  und  $f_2=a\times b$  so ergibt sich für N=4:



Dies ist aber genau eine Teilmenge von Invarianten, welche man mit der Gruppenmittelung über Monome erhalten würde, hier jedoch mit einem schnellen Algorithmus der Komplexität  $O(N \log N)$  anstatt  $O(N^2)$  berechnet.

H. Durkhardt Institut für Informatik Universität Ereiburg

ME I Kon 50 17

#### Verbesserung der Trenneigenschaften (Grad der Vollständigkeit) durch Vergrößerung des Musterraumes mit Hilfe schwach kommutativer Vorverarbeitungsabbildungen $\omega$

(siehe dazu auch die Ausführungen im Kapitel SVM)

Definition der schwachen Kommutativität: Eine Abbildung  $\omega: \mathcal{X} \rightarrow \mathcal{X}$  des Musterraumes  $\mathcal{X}$  auf sich heißt schwach kommutativ, falls zu jedem  $x \in \mathcal{X}$  und  $g1 \in G$  ein  $g2 \in G$  mit der folgenden Eigenschaft existiert:

$$\omega g_1 \mathbf{x} = g_2 \omega \mathbf{x}$$

Lemma: Sei  $\omega: \mathcal{X} \to \mathcal{X}$  eine schwach kommutative Abbildung und T eine invariante Abbildung, dann bilden  $T \circ \omega$  ebenfalls Invarianten.

Beweis: Für alle  $\mathbf{x} \in \mathcal{X}$ ,  $g_1 \in \mathcal{G}$  gilt:

$$(T \circ \omega)(g_1 \mathbf{x}) = T(\omega g_1 \mathbf{x}) = T(\mathbf{g}_2 \omega \mathbf{x}) = T(\omega \mathbf{x}) = (T \circ \omega)(\mathbf{x})$$

Betrachtet werden wiederholte (iterative) Anwendungen von  $\omega$ :  $T \circ \omega$ ,  $T \circ \omega \circ \omega$ , ... (dabei wird der Raum weiter aufgebläht mit Polynomtermen höheren Grades - "Kerntrick")

H Rurkhardt Institut für Informatik Universität Freihuro

ME I Kon 50 18

## Konstruktion von schwach kommutativen Vorverarbeitungsabbildungen

#### Lemma:

Jede Linearkombination aus schwach kommutativen Abbildungen ist selbst schwach kommutativ.

Vergleiche dazu auch die Vorgehensweise bei der Definition von  $\mathbb{C}T_2$  und  $\mathbb{C}T_3$  mit allgemein *verträglichen* 

*Permutationen*  $\omega_i$  als zulässige Vorverarbeitung:

$$\mathbb{C}T_{3} := \underbrace{\mathbb{C}T_{zs} \cup \mathbb{C}T_{sz}}_{\mathbb{C}T_{2}} \cup \mathbb{C}T_{DI}$$

$$\Rightarrow \mathbb{I}_{\mathbb{C}T_{3}} := \mathbb{I}_{\mathbb{C}T_{rs}} \cap \mathbb{I}_{\mathbb{C}T_{rs}} \cap \mathbb{I}_{\mathbb{C}T_{DI}}$$

Wobei:

$$\mathbb{C}T_{sz} = \mathbb{C}T_{zs} \circ \omega_T \circ \mathbf{X}$$

$$\mathbb{C}T_{DI} = \mathbb{C}T_{zs} \circ \overrightarrow{\omega_{DI}} \circ \mathbf{X}$$

# Invarianten für die Gruppe der zyklischen Translationen für Binärmuster der Dimension *N*=16

Man erhält 2<sup>16</sup> = 65.536 unterschiedliche Binärmuster.

Mit Hilfe der Pólya-Theorie läßt sich zeigen, daß es genau die folgende Zahl von unterscheidbaren Orbits oder Äquivalenzklassen gibt:

$$A_B = \frac{1}{N} \sum_{k|N} \varphi(k) 2^{\frac{N}{k}} \Big|_{N=16} = \underline{4116}$$

Die Summe geht über alle Teiler k von N.  $\varphi$  ist die Eulersche  $\varphi$ -Funktion (Die Eulersche  $\varphi$ -Funktion  $\varphi$  (n) gibt die Anzahl aller natürlichen Zahlen k mit  $1 \le k \le n$ , für die k teilerfremd zu n ist).

H Burkhardt Institut für Informatik Universität Freihurg

ME I Kon 50 21

#### Trenneigenschaften polynomialer Merkmale

Es wurden folgende 9 Monome über die Gruppe gemittelt:

$$f_0 = x_0$$
  $f_3 = x_0 x_3$   $f_6 = x_0 x_6$   
 $f_1 = x_0 x_1$   $f_4 = x_0 x_4$   $f_7 = x_0 x_7$   
 $f_2 = x_0 x_2$   $f_5 = x_0 x_5$   $f_8 = x_0 x_8$ 

Ergeben sich folgende Trenneigenschaften:

Mit  $A_s$  gleich der Anzahl der separierbaren Äquivalenzklassen, gleichbedeutend mit der Anzahl der voneinander verschiedenen Merkmalsvektoren.

Merkmalmenge	kmalmenge sep. Muster $A_S$	
${ ilde x}_0$	17	0,004
$\left\{  ilde{x}_{_{0}}, ilde{x}_{_{1}} ight\}$	66	0,016
$\left\{  ilde{x}_{0}, ilde{x}_{1}, ilde{x}_{2} ight\}$	200	0,049
$\left\{  ilde{x}_{0}, ilde{x}_{1}, ilde{x}_{2}, ilde{x}_{3} ight\}$	501	0,122
$\left\{  ilde{x}_0,  ilde{x}_1,  ilde{x}_2,  ilde{x}_3,  ilde{x}_4  ight\}$	980	0,238
$\left\{\tilde{x}_0, \tilde{x}_1, \tilde{x}_2, \tilde{x}_3, \tilde{x}_4, \tilde{x}_5\right\}$	1516	0,368
$\left\{\tilde{x}_0, \tilde{x}_1, \tilde{x}_2, \tilde{x}_3, \tilde{x}_4, \tilde{x}_5, \tilde{x}_6\right\}$	1818	0,442
$\left\{\tilde{x}_0, \tilde{x}_1, \tilde{x}_2, \tilde{x}_3, \tilde{x}_4, \tilde{x}_5, \tilde{x}_6, \tilde{x}_7\right\}$	1876	0,456
$\left\{\tilde{x}_0, \tilde{x}_1, \tilde{x}_2, \tilde{x}_3, \tilde{x}_4, \tilde{x}_5, \tilde{x}_6, \tilde{x}_7, \tilde{x}_8\right\}$	1876	0,456

H Rurkhardt Inctitut für Informatik Universität Freihuro

ME I Van 50 22

# Verbesserung der Trenneigenschaften polynomialer Merkmale

Mit den folgenden zwei Merkmalen:

$$\tilde{x}_0 = x_0 + \dots + x_{15}$$

$$\tilde{x}_1 = (x_0 + x_1)^2 + (x_1 + x_2)^2 + \dots + (x_{15} + x_0)^2$$

Und der schwach kommutativen Abb.:

$$(\omega \mathbf{x})_i = x_i + (2x_{(i-1) \mod 16} + x_{(i+1) \mod 16})^2, \quad 0 \le i \le 15$$

Ergeben sich nun folgende neue Trenneigenschaften: Nach bereits 4 Iterationen der Abbildung ø ist die dazugehörige Merkmalmenge vollständig!

Merkmalmenge	sep. Muster	$\Delta = A_s / A_B$
$\left\{  ilde{x}_{_{0}}, ilde{x}_{_{1}} ight\}$	66	0,02
$\left\{ \tilde{x}_{0}\circ\omega^{1},\tilde{x}_{1}\circ\omega^{1}\right\}$	906	0,22
$\left\{\tilde{x}_0 \circ \omega^2, \tilde{x}_1 \circ \omega^2\right\}$	3630	0,88
$\left\{\tilde{x}_0 \circ \omega^3, \tilde{x}_1 \circ \omega^3\right\}$	4086	0,99
$\left\{ \tilde{x}_{0}\circ\omega^{4},\tilde{x}_{1}\circ\omega^{4}\right\}$	4116	1,00

# Verbesserung der Trenneigenschaften für Transformationen aus der Klasse $\mathbb{C}T$

#### bei Binärmustern

Transformationen	RT	(+,x)	ВТ	F
Separierbare Muster A <sub>s</sub>	225	230	168	1876
$\Delta = A_s/A_B$	0,055	0,056	0,041	0,456

Transformationen	separierbare Muster	Δ
RT	225	0,05
$RT\circ\omega_1$	3682	0,89
$RT \circ \omega_1 \circ \omega_1$	4116	1,00
$RT \circ \omega_2$	4088	0,99
$RT \circ \omega_2^{} \circ \omega_2^{}$	4116	1,00
$RT\circ\omega_3$	4116	1,00

$$(\omega_{1}\mathbf{x})_{i} = x_{i} + \left(\sum_{i=0}^{15} x_{i}\right) (2x_{(i+1) \mod 16} + x_{(i+2) \mod 16})^{2}$$

$$(\omega_{2}\mathbf{x})_{i} = x_{i} + (x_{(i+1) \mod 16} + 2x_{(i+2) \mod 16} + 3x_{(i+3) \mod 16})^{2}$$

$$(\omega_{3}\mathbf{x})_{i} = x_{i} + (x_{(i+1) \mod 16} + 2x_{(i+2) \mod 16} + 3x_{(i+3) \mod 16} + 4x_{(i+4) \mod 16})^{2}$$

Diese Abbildungen sind weitgehend willkürlich gewählt!

Ausserdem kann allgemein gezeigt werden, dass man bei der Gruppe der zyklischen Translationen der Länge N mit maximal (N+1) geeignet gewählten Merkmalen Vollständigkeit erzielen kann.



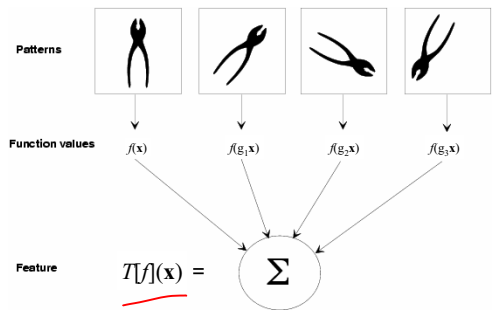
H Rurkhardt Institut für Informatik Universität Freihurg

ME I Kon 50 25

# Invarianten durch Gruppenmittelung über die *Euklidsche Bewegung*

Invarianten können unter Einsatz beliebiger Funktionen f durch Integration über die die Bewegungsgruppe gewonnen werden:

$$I[f](\mathbf{x}) = \int_{G} f(g\mathbf{x}) dg$$



Folie 25

Beweis dazu in DFG-Report von Herrn Canterakis

# Integralinvarianten für die Gruppe der ebenen Bewegungen mit *lokalen* Funktionen

Für die zyklische ebene Bewegung gilt:

$$g(t_0, t_1, \varphi)\mathbf{x}[i, j] = \mathbf{x}[k, l]$$

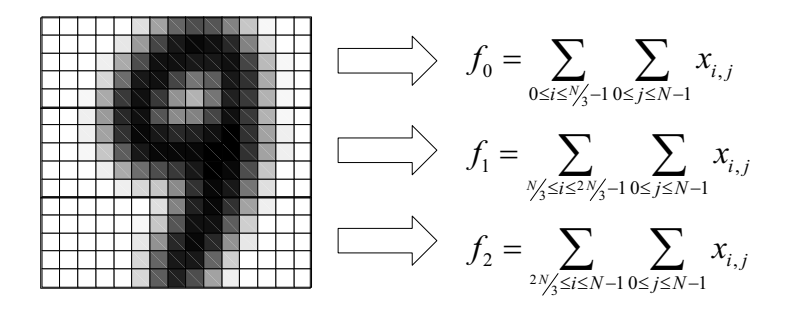
mit:

$$\begin{pmatrix} k \\ l \end{pmatrix} = \begin{pmatrix} \cos \varphi & \sin \varphi \\ -\sin \varphi & \cos \varphi \end{pmatrix} \begin{pmatrix} i \\ j \end{pmatrix} - \begin{pmatrix} t_0 \\ t_1 \end{pmatrix}$$

Alle Indizes müssen Modulo der Bilddimension verstanden werden!

$$T[f](\mathbf{x}) = \frac{1}{2\pi NM} \int_{t_0=0}^{N} \int_{t_1=0}^{M} \int_{\varphi=0}^{2\pi} f(g\mathbf{x}) d\varphi \, dt_1 dt_0$$

# Wahl geeigneter Kernfunktionen? Demo: lineare Merkmalkernfunktionen für rotierende handgeschriebene Ziffer

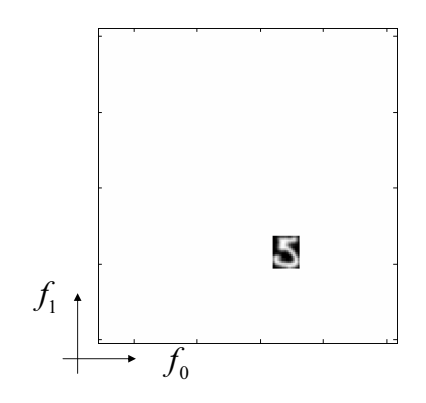


R. Herbrich (2004)

H Rurkhardt Institut für Informatik Universität Freihurg

ME I Von 50 28

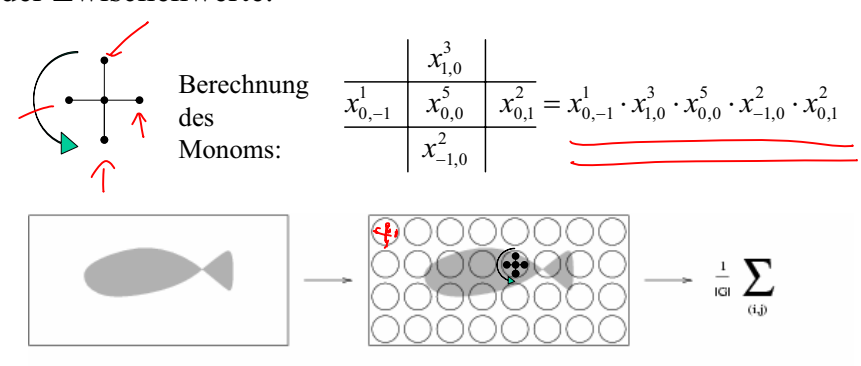
## Orbits von Merkmalen



H Burkhardt Institut für Informatik Universität Freihurg

ME I Van 50 20

Es stellt sich nun heraus, dass f und g vertauschbar sind, d.h. man führt die die i.allg. lokale Funktion mit einer Euklidschen Bewegung über das ganze Bild. Näherung der Integration durch eine Summation auf dem Pixelraster und einer Rotation um eine endliche Anzahl von Winkeln, bei bilinearer Interpolation der Zwischenwerte.

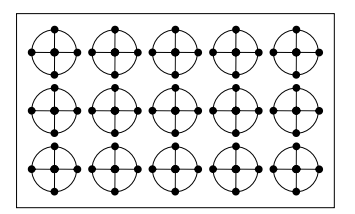


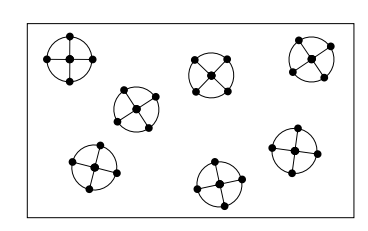
Image

Evaluation of a local function for each pixel of the image Sum over all these local results

ORBIT







Deterministisches Integral über Euklidsche ebene Bewegung

Monte-Carlo-Integration

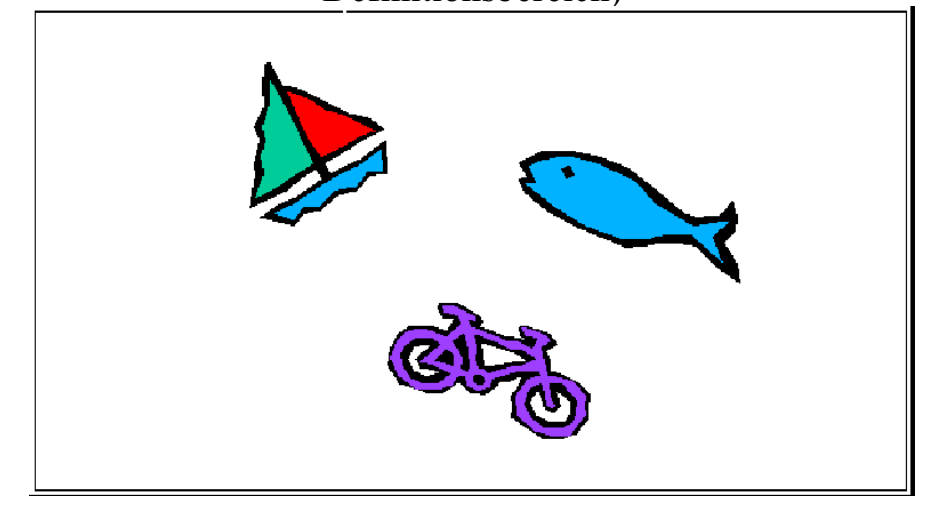
H Rurkhardt Institut für Informatik Universität Freiburg

ME I Van 50 32

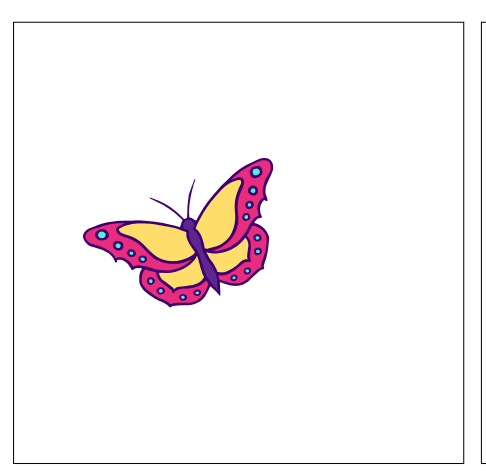
H Rurkhardt Institut für Informatik Universität Freiburg

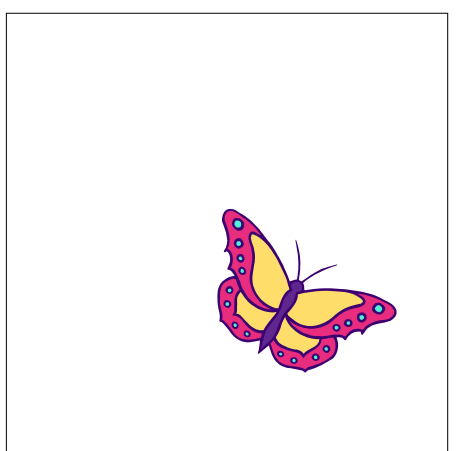
ME I Kon 50 33

#### Äquivalenzklasse für Objekte mit unabhängiger Euklidscher Bewegung (Benutzung von Funktionen mit lokalem Definitionsbereich)



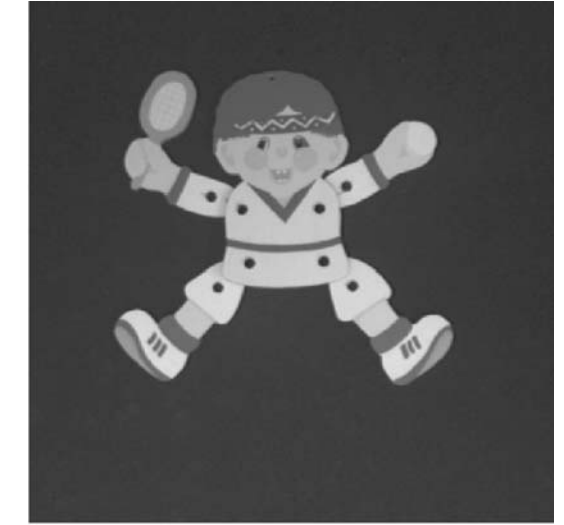
## Invarianz bezüglich einer globalen Euklidischen Bewegung (Translation and Rotation)





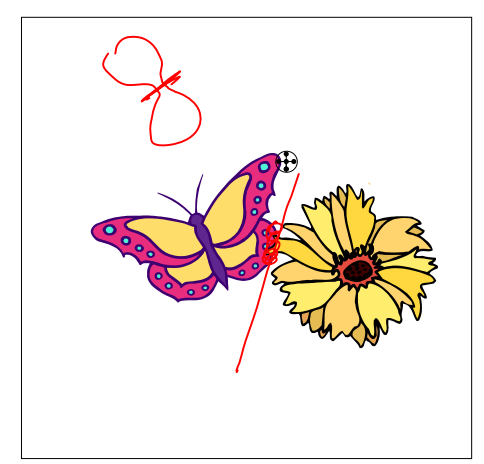
Erkennung von Objekten mit

Gelenken



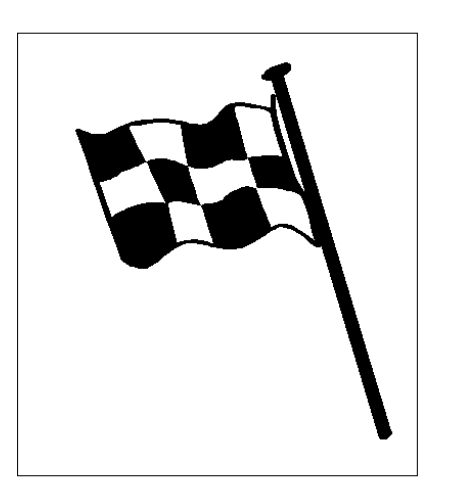


# Erkennung zweier Objekte in einer Szene ohne zu segmentieren





# Robustheit gegenüber topologischen Deformationen



H Rurkhardt Institut für Informatik Universität Freiburg

ME I Van 50 36

H Rurkhardt Institut für Informatik Universität Freiburg

ME I Kon 50 37